

Иллюстрация к статье С.Ю. Соколова «Атлантико-Арктическая рифтовая система ...»

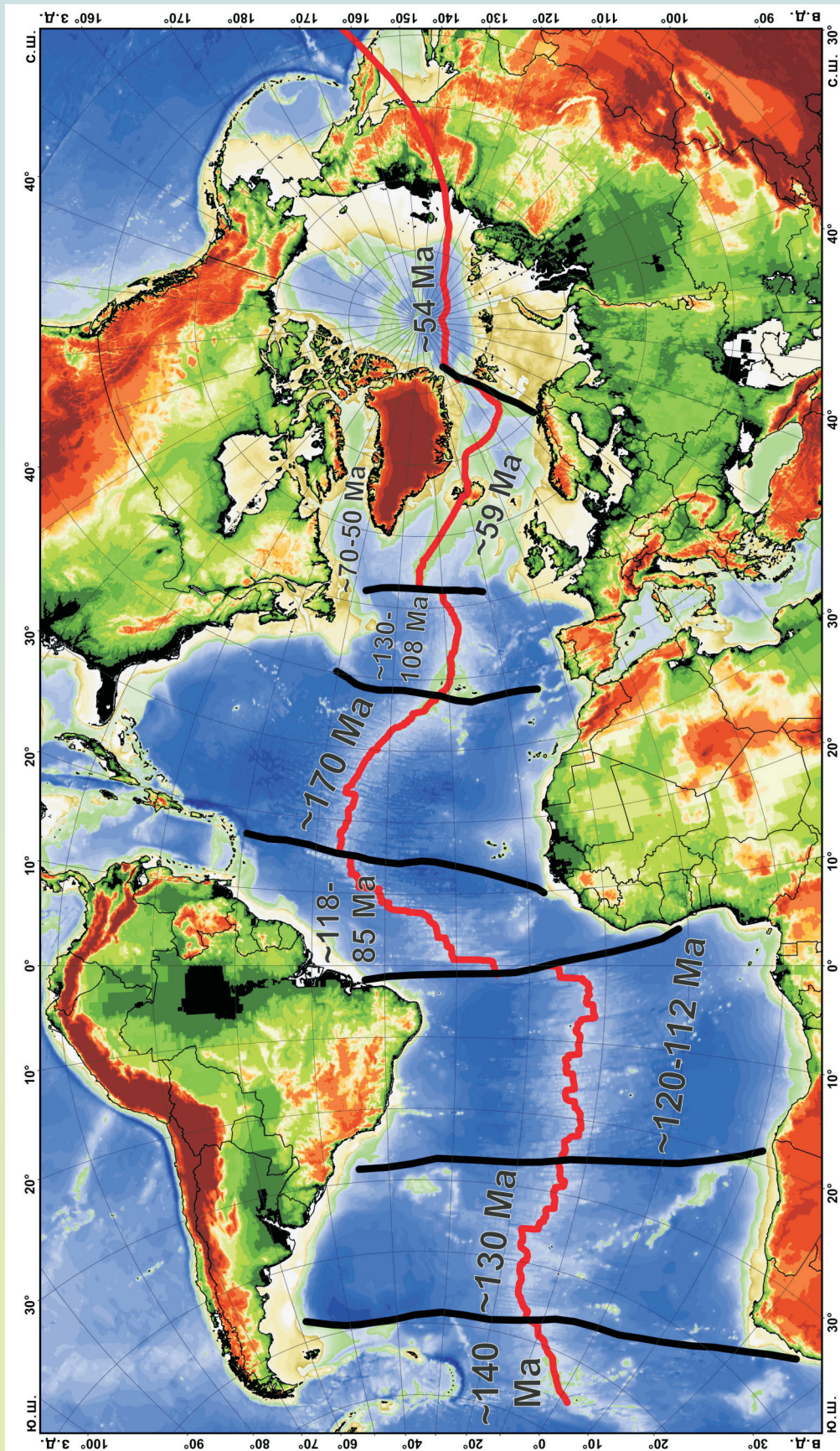


Рис. 1. Положение профиля AAPC (осевая линия САХ), вдоль которого рассчитан разрез атрибута Vp/Vs (рис. 2), и сегментация AAPC на разновозрастные блоки (время начала спрединга указано цифрами) по демаркационными разломам (линии ортогональные САХ). Для моря Лабрадор указан временной интервал начала и конца функционирования спрединга.

На 1 стр. обложки: иллюстрация к статье С.Н. Рычагова и др.
«Состав пепла вулкана Камбальный ...»

Рис. 1. Извержение вулкана Камбальный в 2017 г.: газово-пепловая колонна поднимается из вершинного кратера и распространяется на юго-восток. На переднем плане слева — парогазовые выходы Южно-Камбального Дальнего термального поля. Фото А.С. Габова, государственного инспектора Кроноцкого государственного природного биосферного заповедника.